

Etudes métabolomiques: analyse de données complexes

Utilisation du Space Filling Design et des méthodes de sélections de variables

Pierre LANTERI & Yohann CLEMENT

Institut des Sciences Analytiques (UMR 5280)
Université Claude Bernard Lyon1 / CNRS
Villeurbanne, France

8 octobre 2021



Université Claude Bernard



Lyon 1



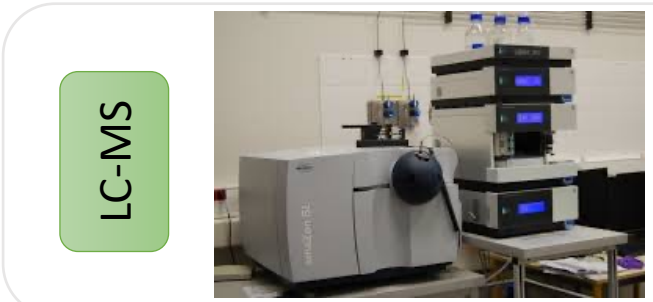


INSTITUT
SCIENCE
ANALYTIQUE



Outils chimiométriques

Input



RMN



GC-MS



DOE

Stratégie expérimentale

Statistical analyses

Tests univariés
t-student
Correlation
False discovery rate
...

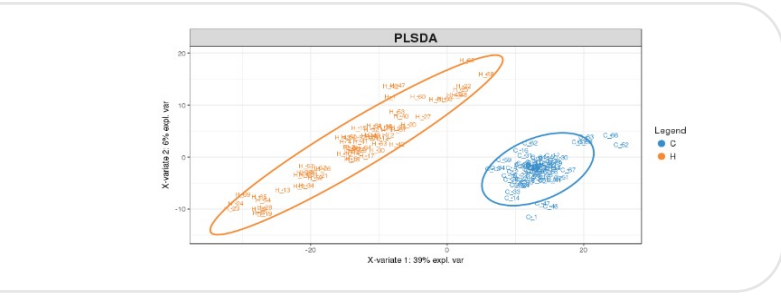
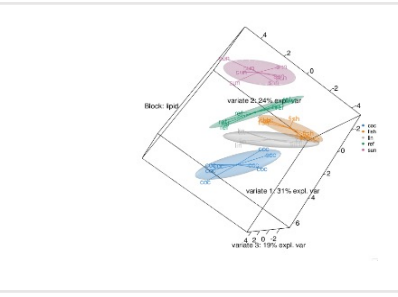
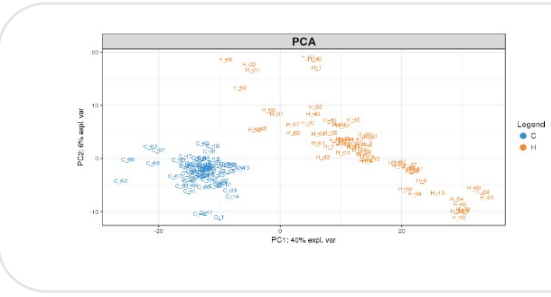
Méthodes descriptives
PCA
ICA
sPCA
GSPPCA
...

Méthodes supervisées
PLS
PLS-DA
SPLA-DA
OPLS
...

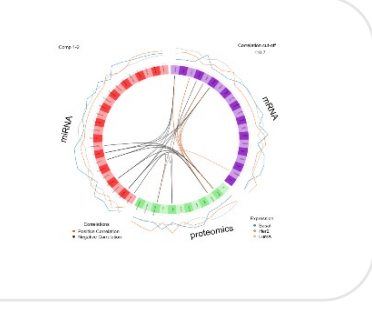
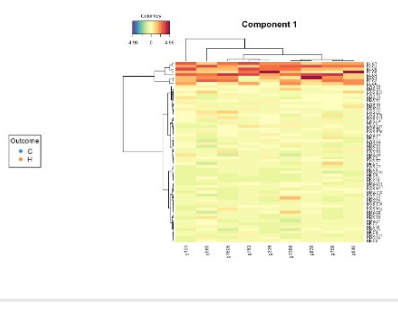
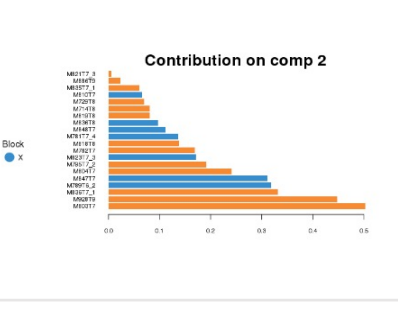
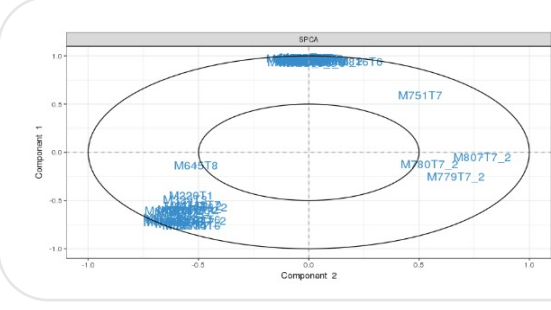
Méthodes Multi-blocks
Multiway PCA
AFM
PARAFAC
COMDIM
...

Graphics

Scores Plot



Loadings Plot



SPACE FILLING DESIGN

Théorie et rappels

Dans un espace multidimensionnel, la **caractérisation** d'un « **remplissage** » **est complexe**. Elle implique de pouvoir répondre à deux questions :

- **1** – la **distribution** des points est-elle **uniforme** ou non ?
- **2** – l'**espace** expérimental est-il **correctement rempli** ?

Pour **qualifier l'uniformité** de la distribution, on examine l'écart entre une distribution de points donnée et une distribution de points uniforme : cet écart est quantifié par un **critère** appelé **discrépance**.

La **discrépance** mesure **l'écart** entre une **distribution** de points **uniforme** et une distribution de points donnée **dans un cube unité** multidimensionnel. Ce critère rapporte **le nombre de points** contenus dans des pavés **au volume** de ces pavés.

pour **deux** ensembles d'un **même nombre** de points choisis dans un domaine expérimental, **le meilleur** sera celui dont **la discrépance est la plus faible**

Pour **qualifier la qualité du remplissage** (la régularité des espacements) on examine la proximité d'une distribution de points donnée à celle d'une grille régulière. Cela fait appel à des **critères utilisant les notions de « distances »**.

Les **critères les plus utilisés** sont la distance euclidienne, le « recouvrement », le rapport des distances et **les distances dites « Maximin » et « Minimax »**.

Maximin : plan D qui **maximise la plus petite distance** de n'importe quel couple de points de D dans le domaine expérimental.

Minimax : plan qui **minimise la plus grande distance** entre tout point du domaine expérimental et D .

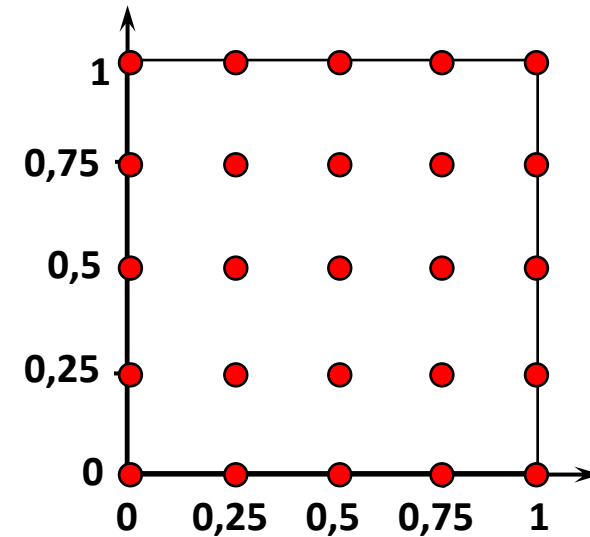
Les techniques de remplissage:

On peut répertorier **6 méthodes principales de remplissage régulier** d'un espace expérimental :

- Le **maillage** régulier (à partir de plans factoriels, Box-Behnken, Doelhert)
- L'échantillonnage **aléatoire**
- Les **hypercubes latins**
- La répartition basée sur la **notion de distances**
- La répartition basée sur la **notion de discrédance**
- La méthode de **Monte Carlo (avec chaînes de Markov)**

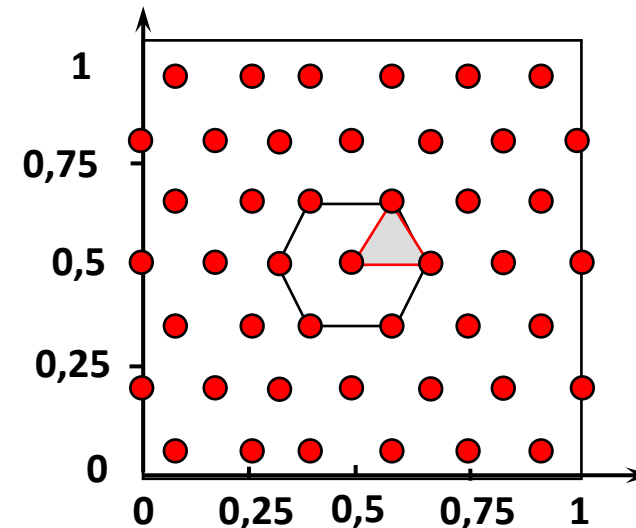
Sélection des individus

Maillage **factoriel** 5^2
25 points



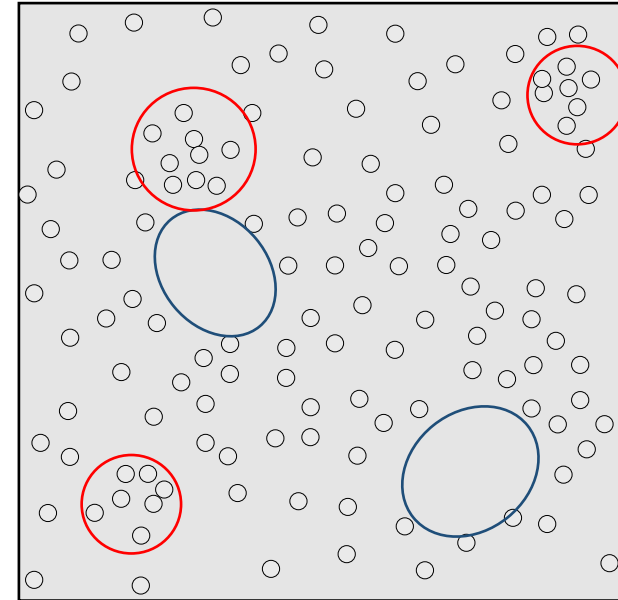
Maillage régulier:

Maillage **Doehlert**
45 points



Echantillonnage aléatoire:

En général, la sélection obtenue présente à la fois des **zones peu représentées** et des **agrégats de points** :



Hypercubes latins:

Les **hypercubes latins** sont des **tableaux orthogonaux**, qui appartiennent à la famille des **plans à « marges uniformes »** : cela signifie qu'**une projection** des points sur un axe ou sur un plan **conduit à une répartition uniforme**

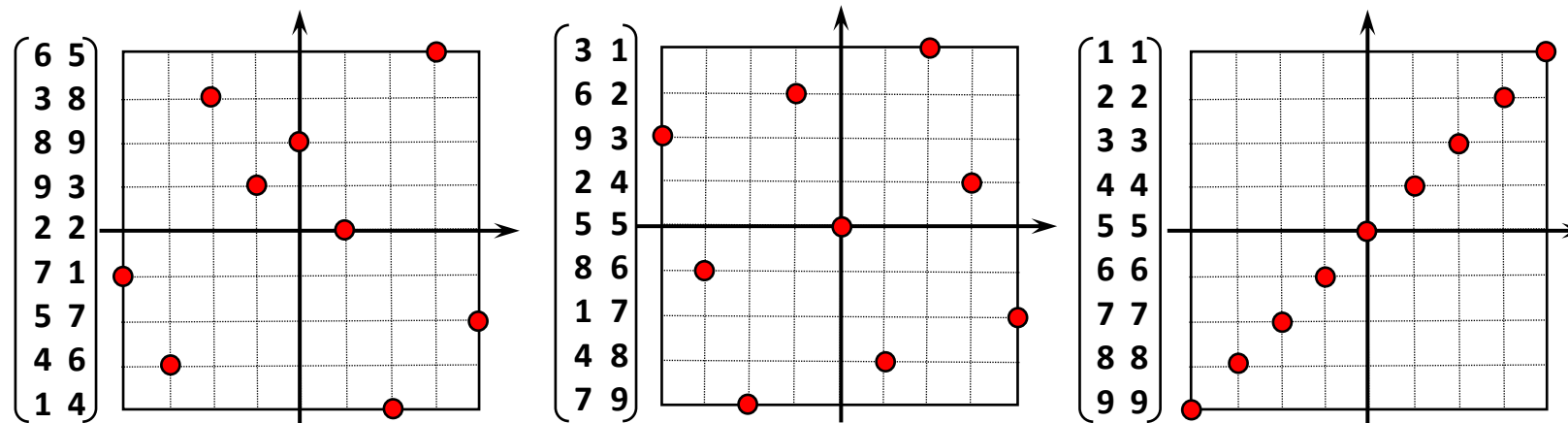
Un hypercube latin **sélectionne** alors **n points** parmi les **n^d points** d'une grille de façon à ce que **les n niveaux** des variables d'entrée soient **testés une fois** par les simulations

Ex. pour 3 facteurs et 10 niveaux

Exp	X_1	X_2	X_3
1	6	10	10
2	5	1	2
3	10	8	1
4	3	6	3
5	7	3	6
6	2	9	7
7	1	2	4
8	4	4	8
9	9	5	9
10	8	7	5

Sélection des individus

Exemple : comparons 3 hypercubes latins de même taille.



3 critères de comparaison :
remplissage, indépendance, uniformité.

Selon la notion de distance

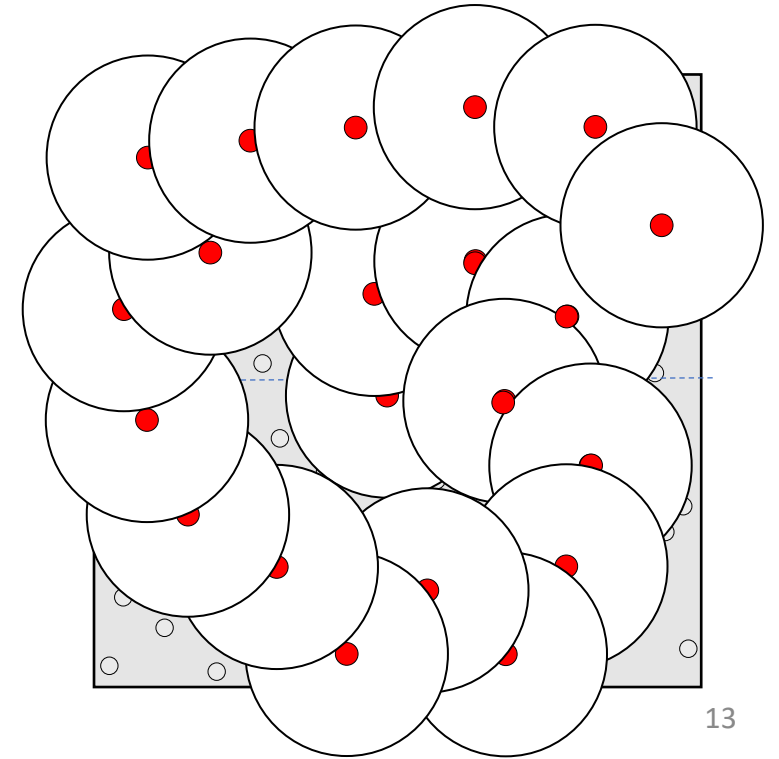
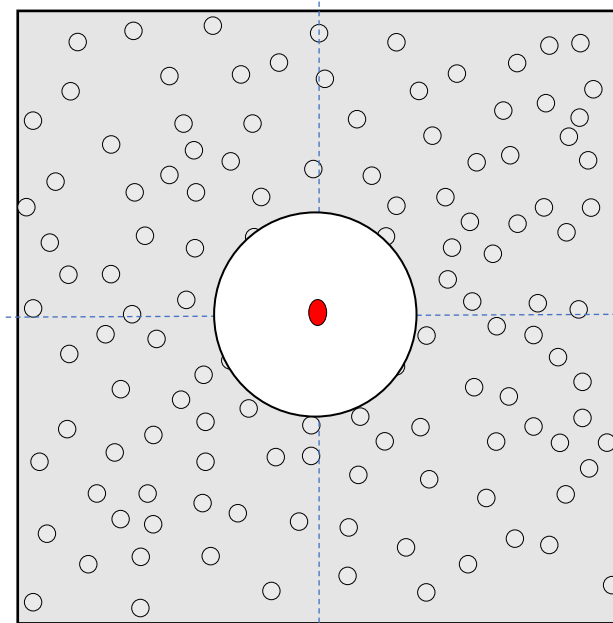
Il est possible d'**utiliser les distances** pour calculer un critère de remplissage de l'espace permettant de **choisir un sous ensemble** de points à partir d'un grand ensemble de candidats.

Le principe de base de ces algorithmes consiste à déterminer ce sous-ensemble **en améliorant un critère géométrique** de remplissage de l'espace.

L'uniformité de la répartition des points peut être aussi assurée, en choisissant les points **pour qu'ils soient simultanément à une distance minimale (D_{min})** de chaque point déjà inclus dans le plan et **aussi près que possible** du centre de l'hypercube unité.

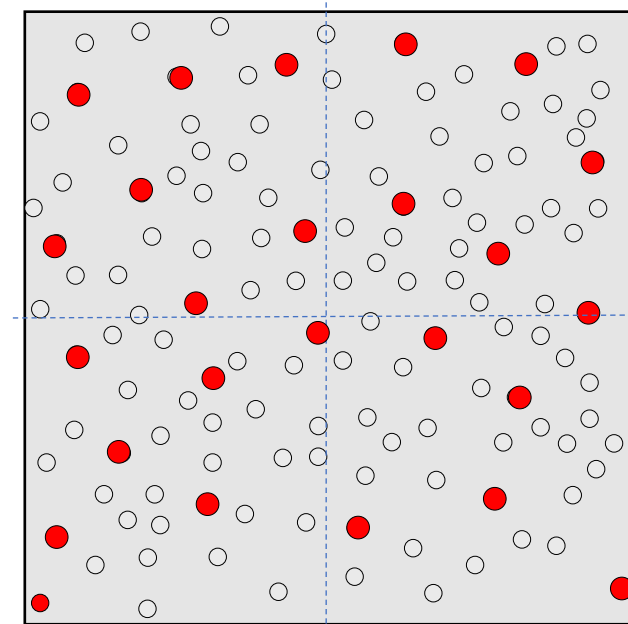
A titre d'illustration, nous avons choisi **l'algorithme WSP** (Wooton, Sergent, Phan-Tan-Luu) qui repose sur celui de *Kennard et Stone* (1969) et de *Wooton* (1975).

- 1 – **Partir** d'un ensemble de **points candidats** (générés ici aléatoirement) ;
- 2 – **Choisir le point le plus près du centre** du domaine comme **point de départ** ;
- 3 – **Choisir le diamètre D_{min} du cercle** (de la sphère) à l'**intérieur** duquel (de laquelle) tous les **points** seront **éliminés** ;
- 4 – **réitérer le processus** à partir du **point le plus proche** de ce cercle :



Sur cette simulation en deux dimensions, on constate qu'une fois le *processus terminé* on obtient une distribution de n points répartis uniformément dans l'hypercube,

où n est \leq au nombre de points de la distribution initiale.

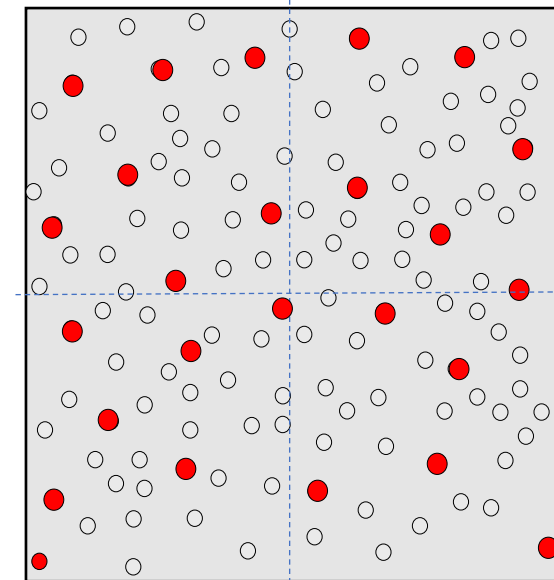
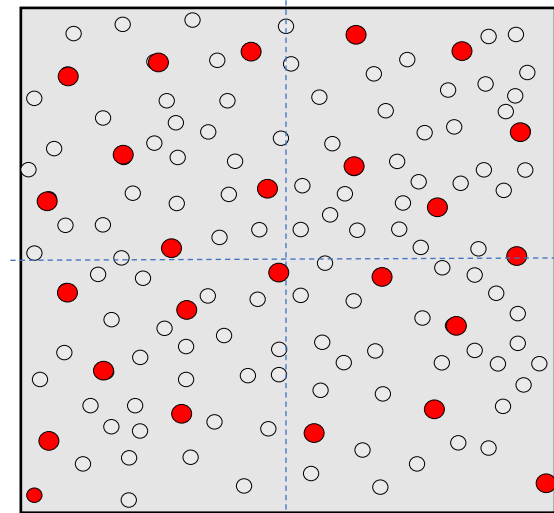


Il est évident que **plus** la distance **D_{min} est faible** et plus le **nombre de points** sélectionnés est **important**.

Une **extension** possible est de **rechercher** toutes les solutions **en faisant varier** la distance minimale.

Cela permet de choisir celle présentant un **bon compromis** entre la **qualité** du critère **et** le **nombre de points**.

Le **critère** de choix généralement **utilisé** est le **rapport entre la distance minimale et la distance maximale** des plus proches voisins.



Applications:

Etude par RMN du profil métabolique urinaire chez le nouveau né dans la cas d'une obstruction de la jonction pyélo-urétérale

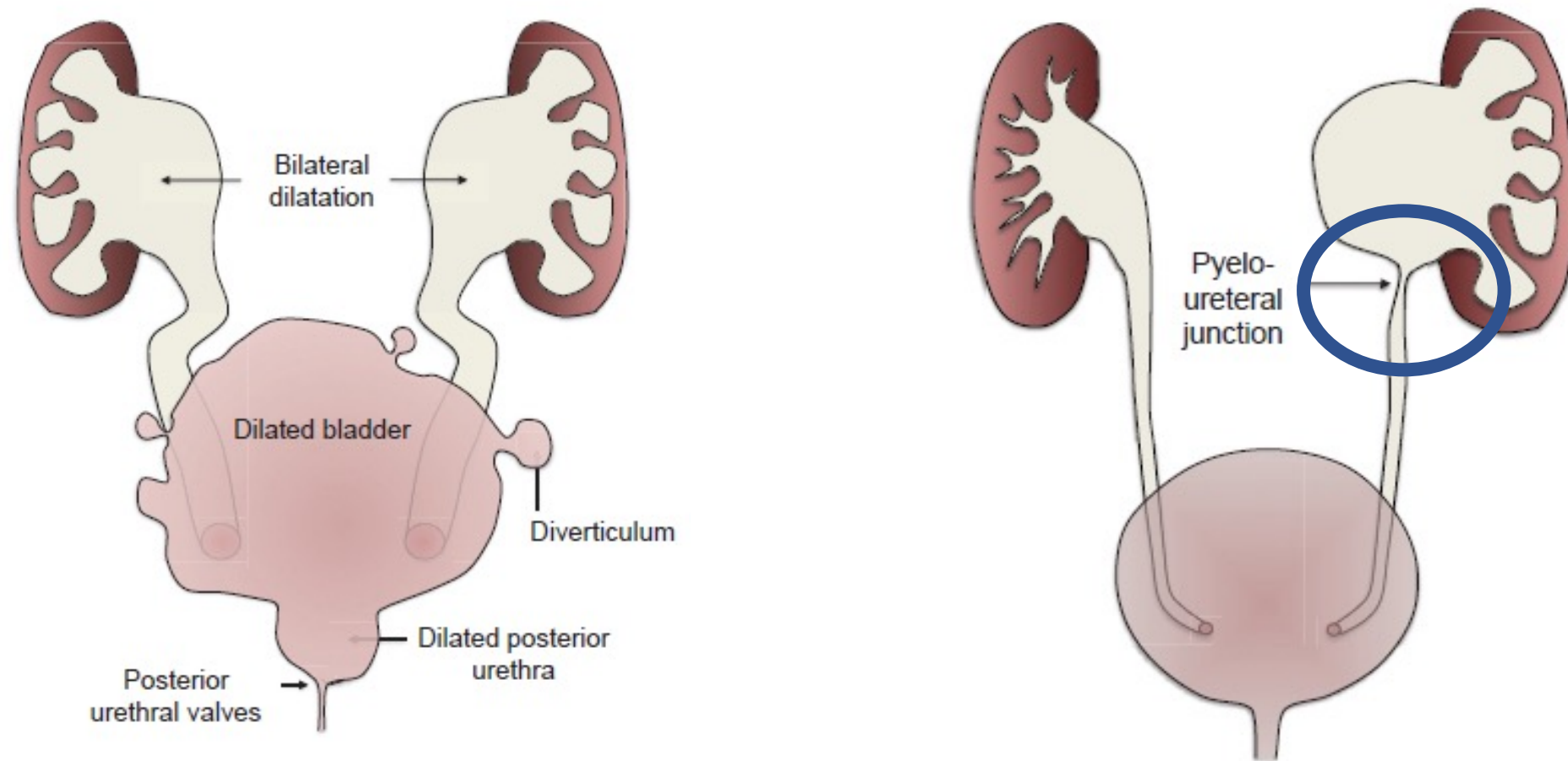


Figure :Schéma d'une anomalie de jonction pyélo-urétérale à droite
Le bassin rénal est dilaté mais l'uretère ne l'est pas.

140 urines de nouveaux nés ont été prélevées:

- 50 nouveaux nés avec symptômes:
 - 24 opérés
 - 26 avec dilatation transitoire
- 90 nouveaux nés témoins

L'ensemble des urines a été prélevé à l'hôpital avec un protocole identique

➤ *Analyse des échantillons par RMN¹H*

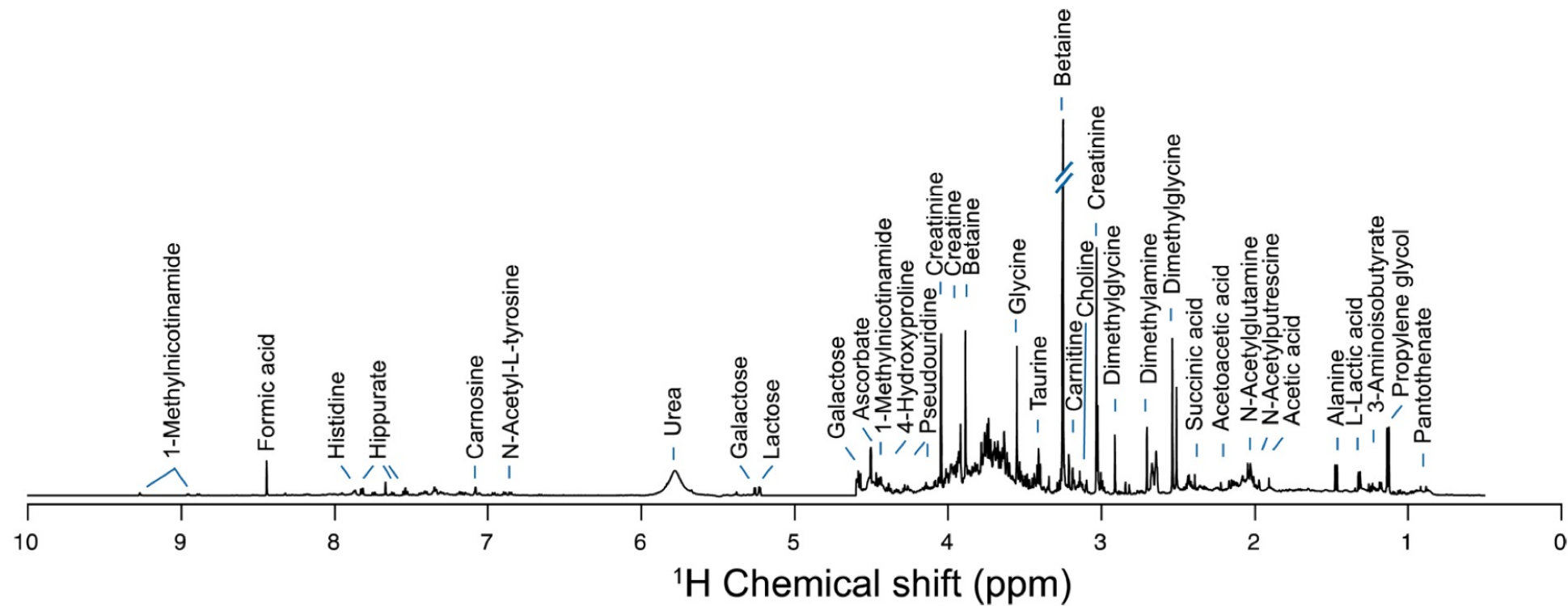


Figure 1. Mean 600 MHz ¹H NMR NOESY spectrum from all 90 newborns' urine samples represented with selected metabolites annotations.

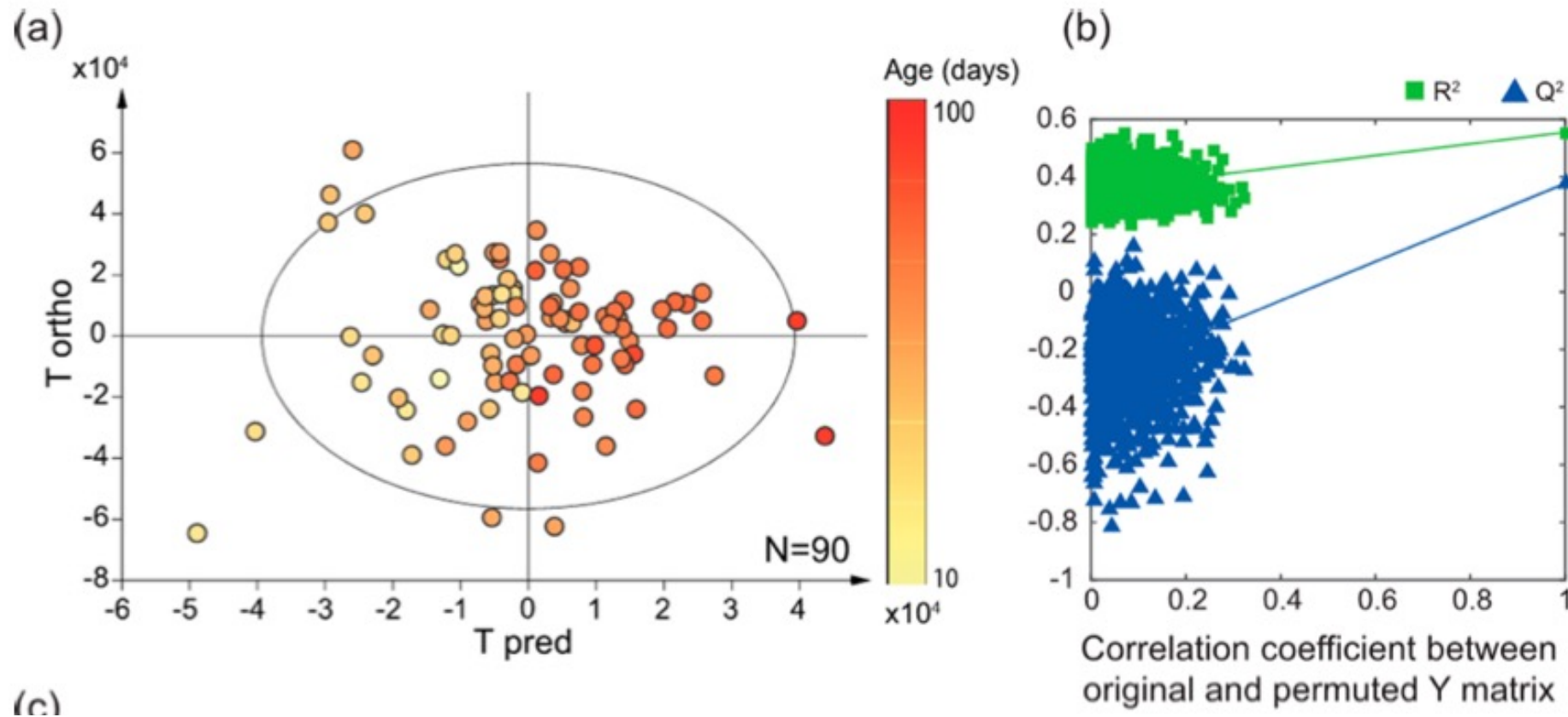


Figure 2. O-PLS model constructed from the 90 ^1H NMR spectra of newborns' urine for a regression based on age (1 + 1 components; $R^2X = 0.235$; $R^2Y = 0.554$; $Q^2 = 0.376$; $p\text{-value} = 1.3 \times 10^{-8}$ by CV-ANOVA). (a) Score plot; (b) model validation by resampling 1000 times under the null hypothesis; and (c) O-PLS loading plot after SRV analysis and Benjamini–Hochberg multiple testing correction. Statistically significant signals correspond to the colored spectral regions. Significant metabolite variations are summarized in [Table 1](#).

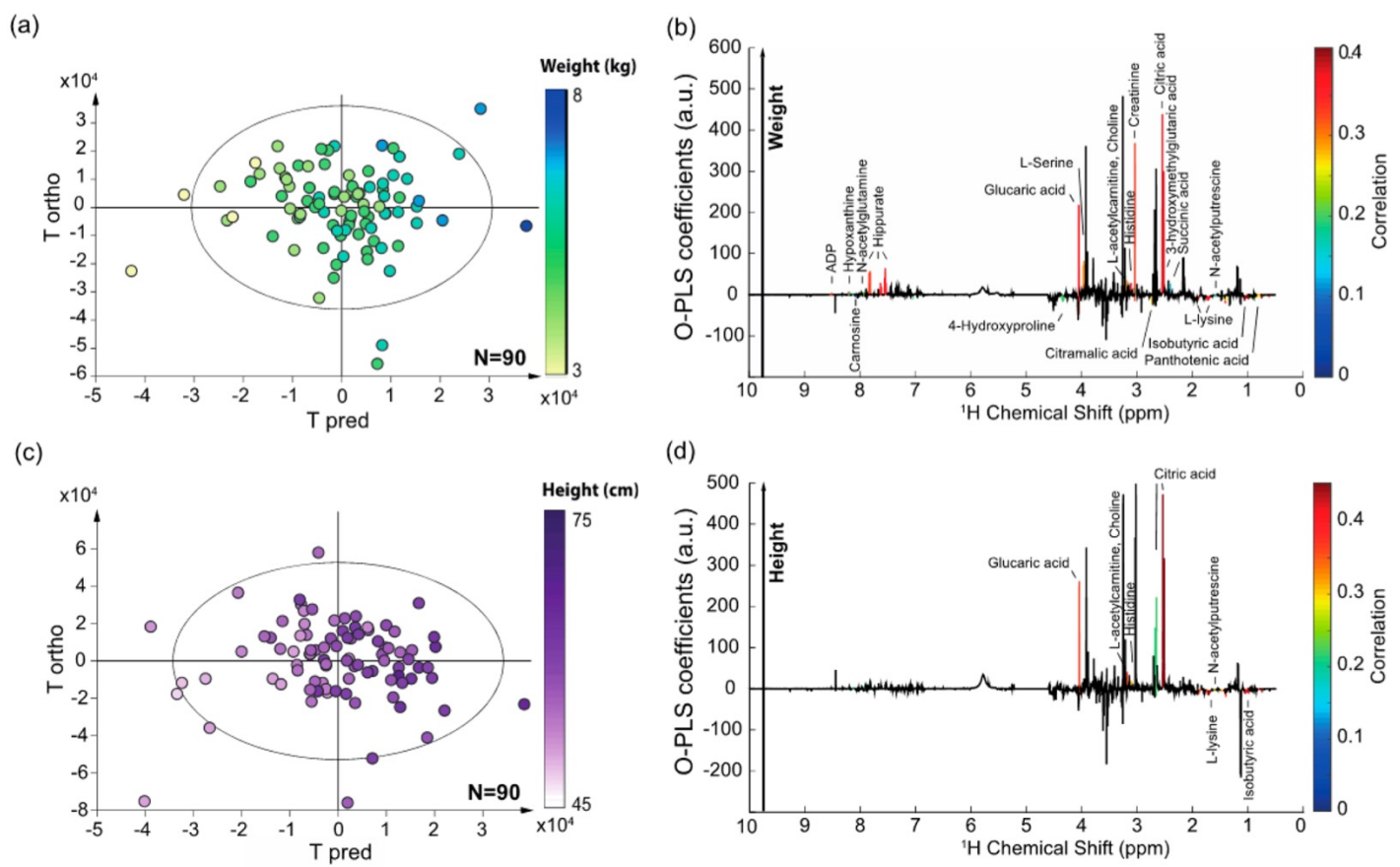


Figure 3. O-PLS regression model against newborns' weight, constructed from the set of 90 ¹H NMR spectra (1 + 1 components; $R^2X = 0.11$, $R^2Y = 0.588$, $Q^2 = 0.118$, p -value = 0.03 by CV-ANOVA): (a) score plot and (b) corresponding loadings plot after univariate analysis and Benjamini–Hochberg multiple testing correction. Statistically significant signals correspond to the colored spectral regions. Significant concentration variations correlated with weight are summarized in [Table 1](#). O-PLS regression model against newborns' height (1 + 1 components; $R^2X = 0.196$, $R^2Y = 0.551$, $Q^2 = 0.341$, p -value = 5.1×10^{-7} by CV-ANOVA): (c) score plot, and (d) corresponding loadings plot after univariate analysis and Benjamini–Hochberg multiple testing correction. Significant concentration variations associated with infant height are reported in [Table 1](#).

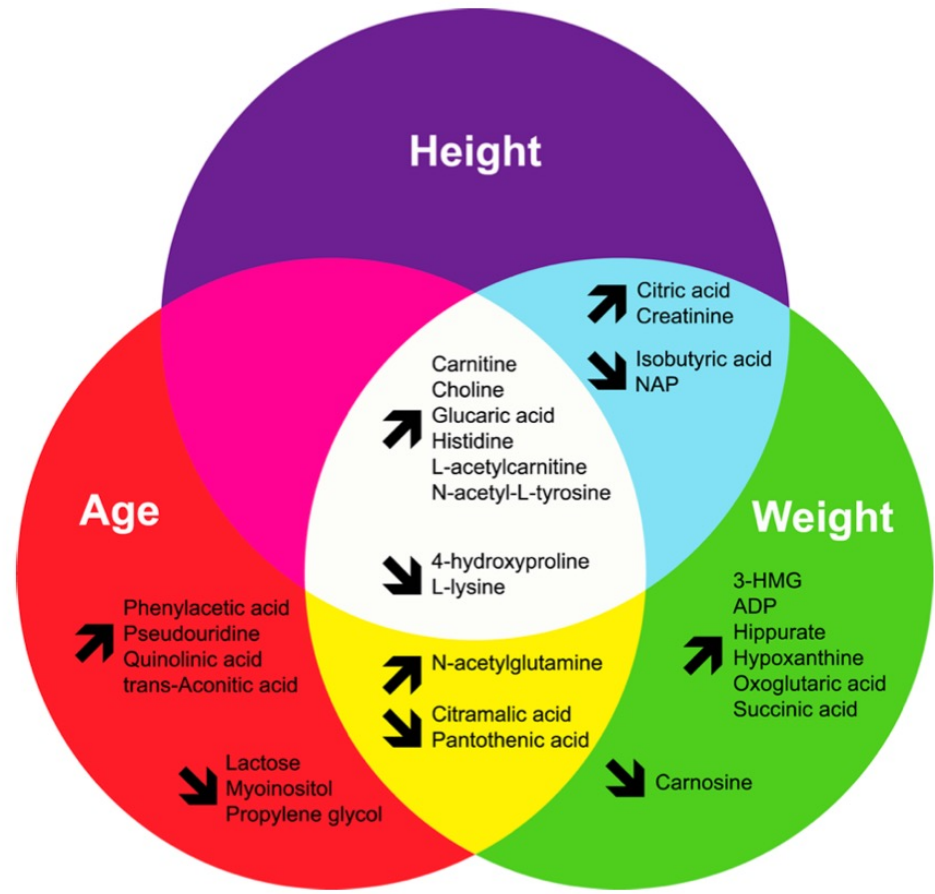
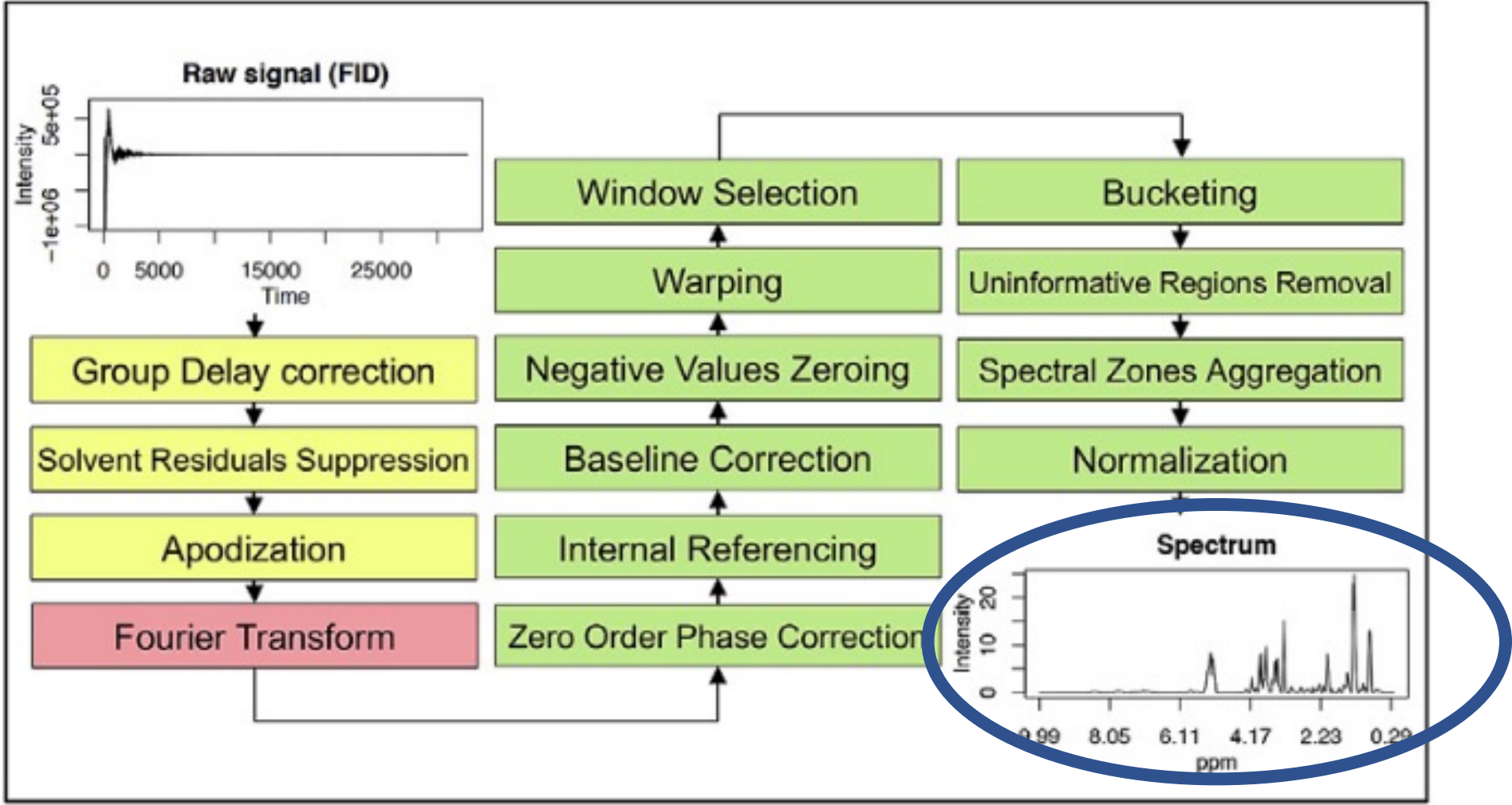


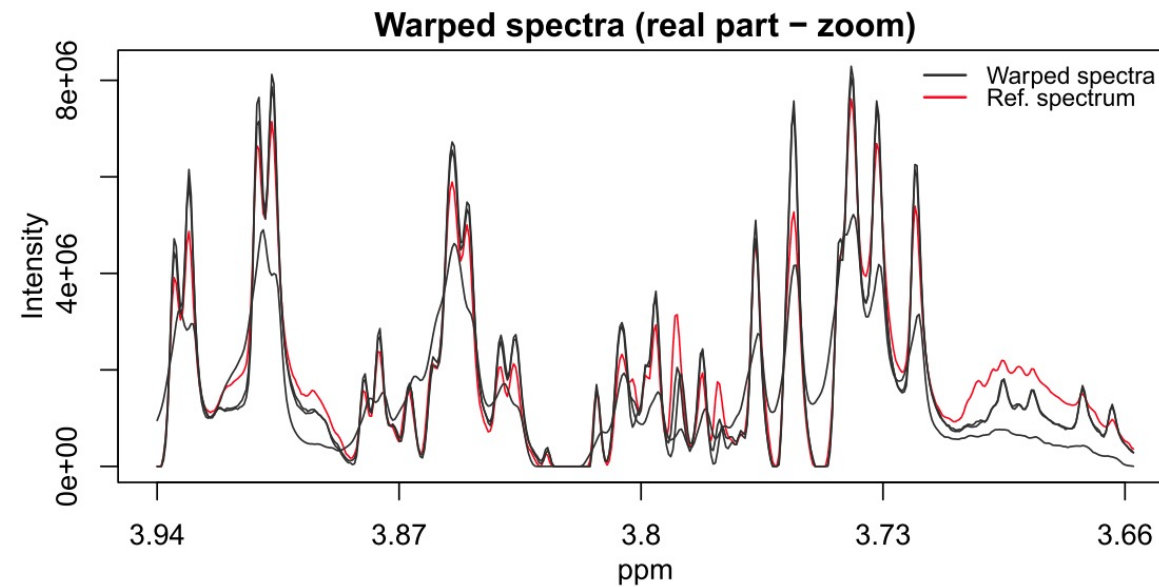
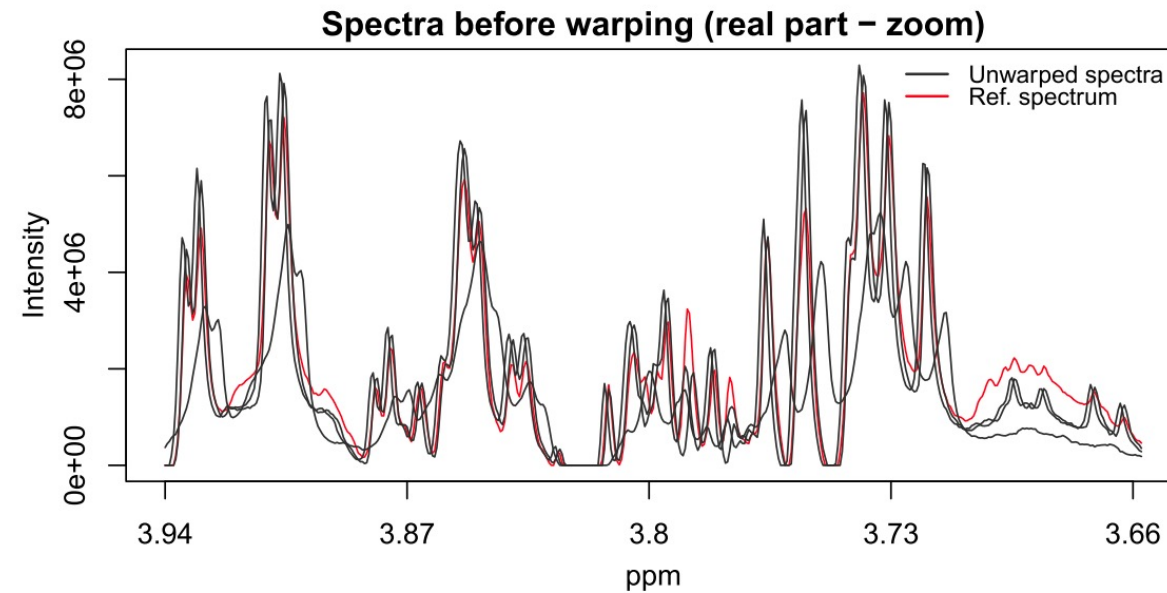
Figure 4. Venn diagram summarizing key metabolites significantly associated with age, weight, and/or height. Metabolites with at least one q -value < 0.05 are represented. NAP: *N*-acetylputrescine; 3 HMG: 3-hydroxymethylglutarate.

2^{ème} étude

Prétraitement des données

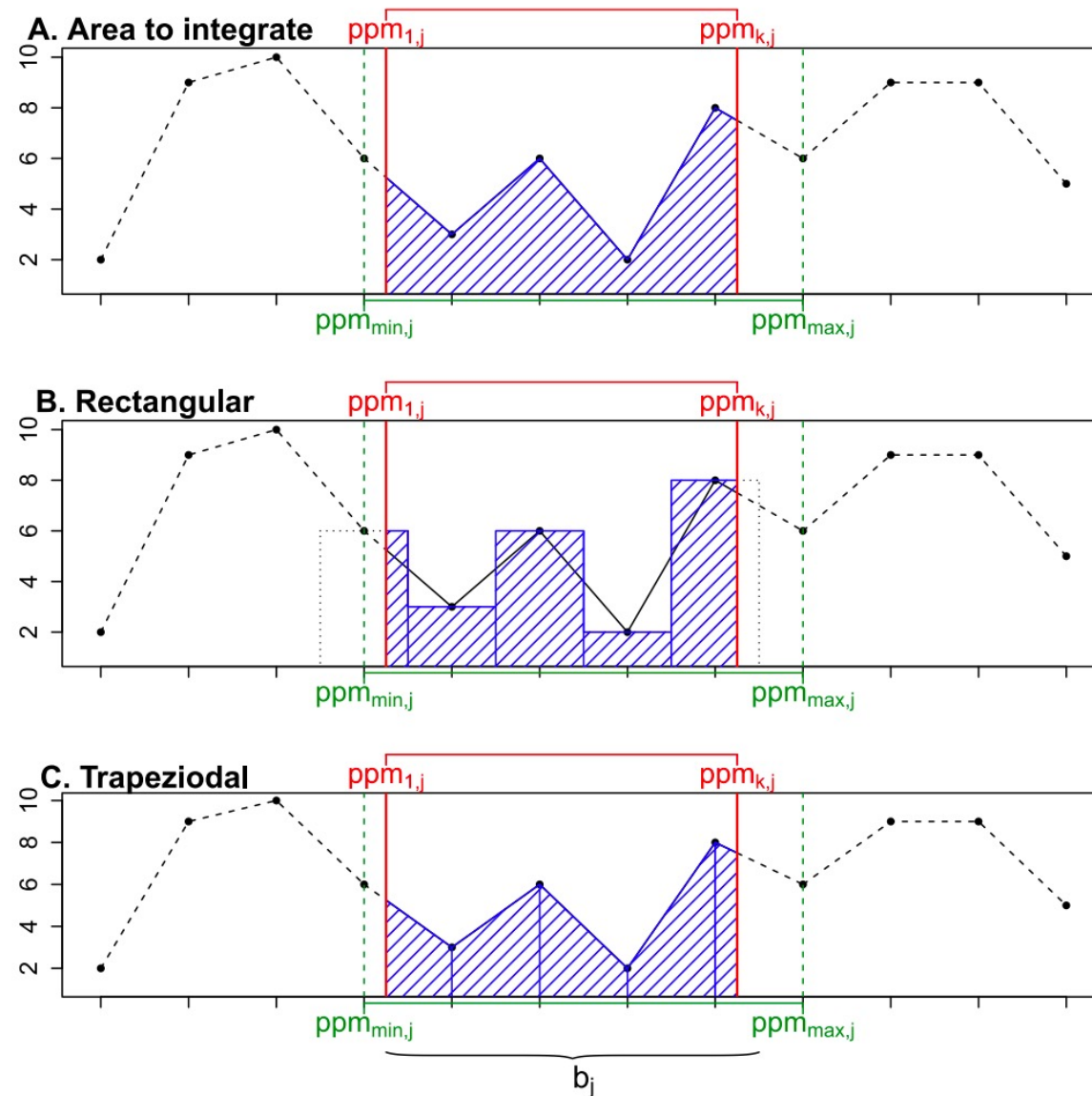


Alignement des spectres:



Bucketing:

- Suppose que les spectres sont alignés
- Les décalages restant sont minimales
- intègre les m intensités spectrales originales dans n intervalles prédéfinis
- Réduction du nombre de variables finales



Dans le but d'obtenir une calibration et une validation robuste, une sélection des individus est effectuée par Space Filing Desing (SfD) sur les scores des ACP de chaque groupe

140 urines de nouveaux nés ont été prélevés et donc divisés en 2 groupes par SfD

- 25 nouveaux nés avec symptômes:
 - 12 opérés
 - 13 avec dilatation transitoire
- 45 nouveaux nés témoins



Calibration

LA NORMALISATION

- Correction de la dérive des signaux (perte d'intensité, erreurs analytiques (bugs) ,)
- Permet de comparer les spectres entre eux en corrigeant les effets d'échelles
- Pour les études en métabolomiques (urines par exemple) permet de réduire les effets de dilution
- Permet de corriger et comparer les spectres issus de différents lots d'analyses (différents jours par exemple)

Mizuno, H., Ueda, K., Kobayashi, Y., Tsuyama, N., Todoroki, K., Min, J. Z., & Toyo'oka, T. (2017). The great importance of normalization of LC-MS data for highly-accurate non-targeted metabolomics. *Biomedical Chromatography*, 31(1). Li, B., Tang, J., Yang, Q., Li, S., Cui, X., Li, Y., Chen, Y., Xue, W., Li, X., & Zhu, F. (2017). NOREVA: Normalization and evaluation of MS-based metabolomics data. *Nucleic Acids Research*, 45(W1), W162–W170.

Karpievitch, Y. V., Taverner, T., Adkins, J. N., Callister, S. J., Anderson, G. A., Smith, R. D., & Dabney, A. R. (2009). *Normalization of peak intensities in bottom-up MS-based proteomics using singular value decomposition*. 25(19), 2573–2580.